

JP9901



JP 9902



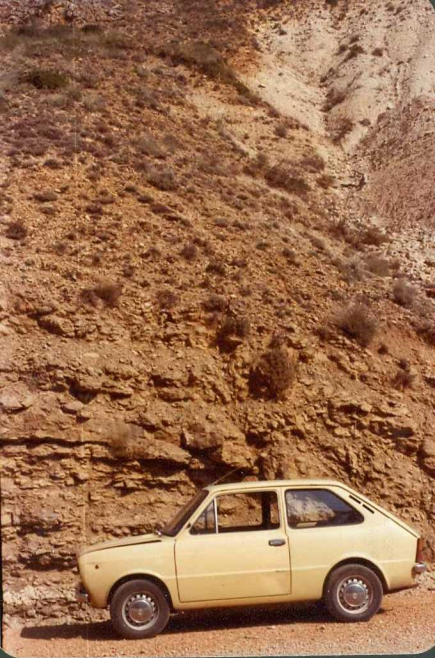
JP 9903



JP 9904



JP 9905



JP 9906



JP 9907



JP 9908



JP 9909



JP 9910



JP 9911



JP 9912



JP 9913



JP 9914



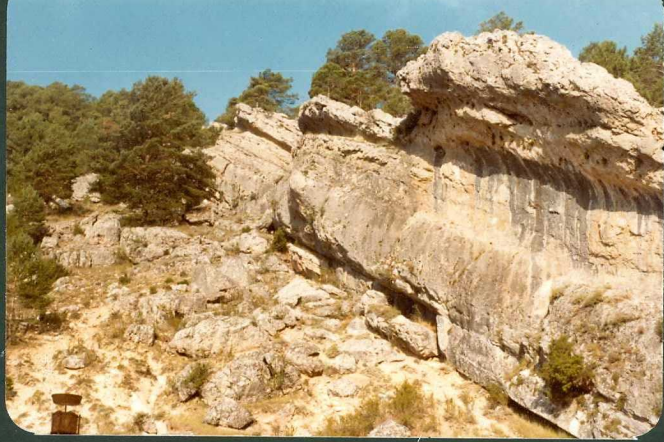
JP 9915



JP 9916



JP 9917



JP 9918



JP9919



JP9920



JP 9921



JP 9922



JP 9923



JP9924



JP9925

- JP 9901 Cuarcitas del Llandeilo - Caradoc en Noguera
- JP 9902 Buntsandstein en Noguera
- JP 9903 y 9904 Contacto Bunt-Llandeilo en Noguera. Marcas de presión-solución de los clastos sobre el contacto con las pizarras y penetración del conglomerado en las diaclasas.
- JP 9905 Calizas bioclásticas de Barahona en Villar del Cobo
- JP 9906 Calizas bioclásticas de Barahona y Margas de Turmiel en Villar del Cobo
- JP 9907 Dogger en Villar del Cobo
- JP 9908 Calizas de Yátova en Villar del Cobo
- JP 9909 Calizas del Weald en Tragacete
- JP 9910 Detalle de la anterior
- JP 9911 Weald en Tragacete
- JP 9912 Calizas del Weald en Guadalaviar
- JP 9913 Fm. Arenas de Utrillas en Guadalaviar
- JP 9914 Ripples de oscilación en el Cenomaniense de C. de Veguillas de Tajo

- JP 9915 Ripples de oscilación en el Cenomaníense de C. de Veguillas de Tajo
- JP 9916 Ripples de oscilación en el Cenomaníense de C. de Veguillas de Tajo
- JP 9917 Dolomías rojas laminadas del Cenomaníense en C. de Veguillas de Tajo
- JP 9918 Dolomías Ciudad Encantada en la Peña del Fraile
- JP 9919 Niveles nodulosos bioturbados por encima de las Dolomías Ciudad Encantada en la Peña del Fraile
- JP 9920 Calizas con Miliolídos replegadas en Tragacete
- JP 9921 Calizas con Miliolídos replegadas en Tragacete
- JP 9922 Brechas del Campaníense en la Peña del Fraile
- JP 9923 Calizas pisolíticas del Paleoceno en el sinclinal del Alto Tajo
- JP 9924 Conglomerados del Oligoceno superior en el Portillo de Guadaluviar
- JP 9925 Plioceno en Noguera